



دانشکده علوم زیستی

رساله دوره دکتری تخصصی رشته بیوشیمی

عنوان:

استفاده از فناوری Antisense RNA در بهینه‌سازی بیان اینترفرون β نوترکیب در باکتری *E. coli*

نگارش:

ناهید بختیاری

اساتید راهنما:

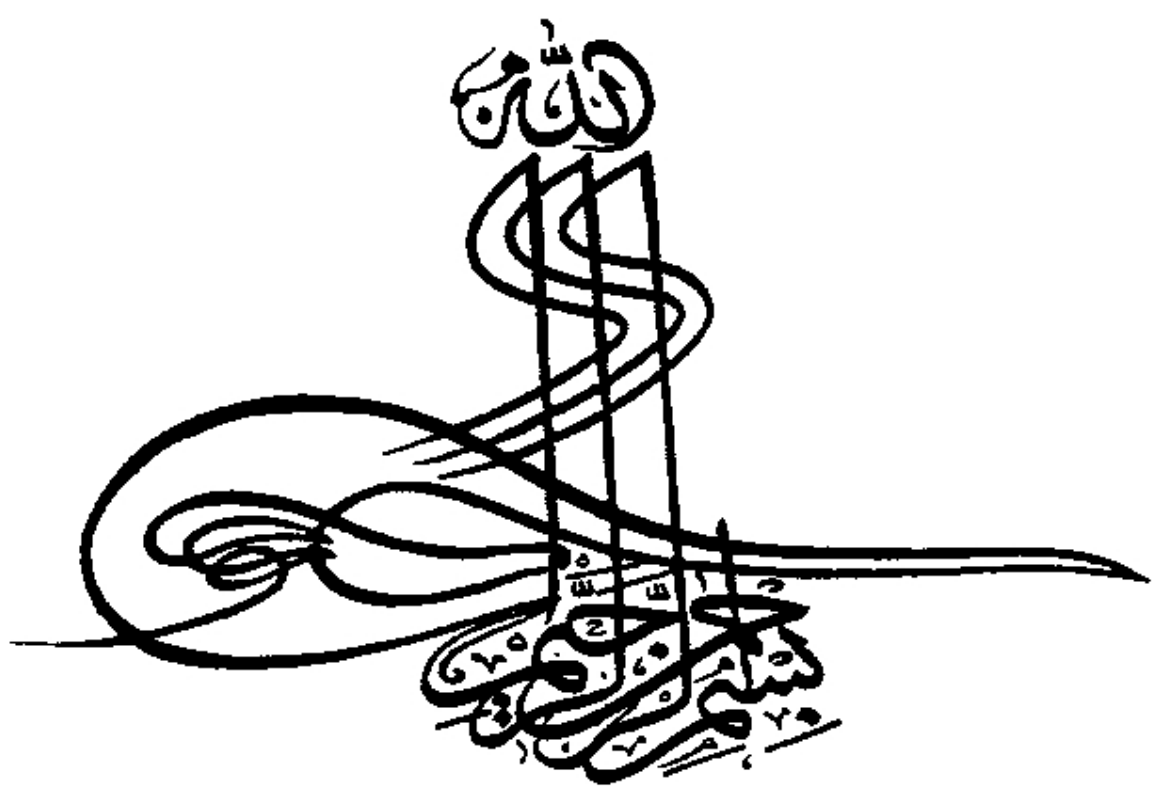
دکتر منوچهر میرشاهی

دکتر نادر مقصودی

استاد مشاور:

دکتر ولی الله بابایی پور

تیر ماه ۱۳۸۹



چکیده

یکی از مشکلات استفاده از باکتری/اشرشیاکلی برای تولید انبوه پروتئین نوترکیب، ترشح استات در محیط کشت است که سبب کاهش طول عمر باکتری و به دنبال آن کاهش بیان پروتئین نوترکیب می‌شود. در این رساله ما از فناوری RNA آنتی‌سننس به عنوان ابزاری سودمند در مهندسی متابولیک برای مهار جزئی بیان ژن‌های مربوط به دو آنزیم اصلی مسیر استات، یعنی فسفوترانس-استیلаз (PTA) و استات‌کیناز (ACK)، استفاده کردیم. یک پلاسمید نوترکیب که حاوی ژن‌های آنتی‌سننسی است که هر دو ژن *ackA* و *pta* را مورد هدف قرار می‌دهد، ساخته شد و اثرات آن بر مسیر استات و تولید پروتئین نوترکیب در باکتری/اشرشیاکلی (DE3) BI21 دارای کاست آنتی-سننس و فاقد آن مورد مطالعه و مقایسه قرار گرفت. اینترفرون بتای نوترکیب به عنوان پروتئین مرجع انتخاب شده و بیان ژن‌های آنتی‌سننس با استفاده از پرومومتر قوی T7 و پرومومتر طبیعی ژن *ackA* که پرومومتری ضعیف می‌باشد، کنترل شد. در طی این پژوهش ما دریافتیم که کاست آنتی-سننس، تحت بیان پرومومتر طبیعی ژن *ackA*، سطح mRNA ژن‌های مورد هدف را به طور جزئی کاهش داده و باعث کاهش ترشح استات در محیط کشت می‌شود. آنچه مورد توجه می‌باشد این است که در این حالت، با این که میزان کاهش استات چشمگیر نبود، میزان بیان اینترفرون بتا در باکتری دارای کاست نسبت به گونه‌ی کنترل $\frac{3}{6}-\frac{4}{2}$ برابر افزایش نشان می‌داد. در صورتی که وقتی میزان استات تحت تاثیر پرومومتر قوی T7 کاهش قابل توجه از خود نشان می‌داد، باکتری‌ها سریعتر دچار مرگ می‌شدنند. این موضوع نشان می‌دهد که نسبت به آنچه در گزارش‌های قبلی وجود دارد، مسیر استات دارای اثرات حیاتی‌تری در فیزیولوژی سلولی می‌باشد. وقتی آزمایش‌ها تحت تنظیم پرومومتر طبیعی ژن *ackA* در محیط کشت با مقیاس بالاتر انجام شد، افزایش رشد و طول عمر باکتری هم بیشتر شده و این نتایج بیانگر این است که، این فناوری می‌تواند با موفقیت در مقیاس صنعتی تولید پروتئین نوترکیب در باکتری/اشرشیاکلی هم به کار گرفته و ارزیابی شود.

کلمات کلیدی: فناوری آنتی‌سننس، استات، پروتئین نوترکیب، اینترفرون بتا، اشرشیاکلی

فهرست

صفحه

فصل اول: مقدمه

۱	۱-۱. تاریخچه‌ی داروهای نوترکیب.....
۴	۱-۲. اینترفرون‌ها: گزینه‌ای برای تولید پروتئین نوترکیب جهت مصارف درمانی.....
۶	۱-۲-۱. اینترفرون β
۱۰	۱-۳. باکتری/شرشیاکلی: میزبانی برای تولید انبوه پروتئین‌های نوترکیب.....
۱۰	۱-۳-۱. استات به عنوان یک مساله مشکل آفرین در تولید انبوه پروتئین نوترکیب توسط/شرشیاکلی
۱۱	۱-۳-۲. چرا سلول‌های باکتری استات ترشح می کنند؟.....
۱۲	۱-۳-۳-۱. چرا چرخه‌ی تریکربوکسیلیک‌اسید به طور کامل انجام نمی‌شود؟.....
۱۵	۱-۳-۳-۲. لزوم تولید استات برای چرخش دوباره‌ی کوآنزیم A.....
۱۶	۱-۳-۳-۳. لزوم تولید استات برای تولید دوباره‌ی NAD ⁺
۱۸	۱-۳-۳. مسیر های ترشح استات.....
۲۱	۱-۳-۴. فعال‌سازی استات توسط مسیر استات‌کیناز- فسفوترانساستیلاز.....
۲۲	۱-۴-۳-۱. فنوتیپ‌های دارای جهش در ژن‌های pta و ackA
۲۴	۱-۴-۳-۲. پروفایل بیان باکتری‌های دارای جهش در ژن‌های pta و ackA
۳۰	۱-۳-۵. بیان و فعالیت مسیر pta-ackA
۳۱	۱-۴. روش‌های مورد استفاده برای جلوگیری از اثر منفی تجمع استات در فرمانتور
۳۳	۱-۵. فناوری آنتی‌سننس RNA

فصل دوم: مواد و روش‌ها

۳۷	۲-۱. مواد مورد استفاده
۳۷	۲-۱-۱. مواد شیمیایی و بیولوژیک

۳۸ ۲-۱-۲. گونه‌های باکتریایی
۳۹ ۲-۲. روش‌های مورد استفاده
۳۹ ۲-۲-۱. واکنش زنجیره‌ی پلی‌مراز (PCR)
۴۰ ۲-۲-۲-۱. واکنش PCR جهت جداسازی ژن‌ها
۴۱ ۲-۲-۲-۲. واکنش PCR جهت جداسازی قطعات آنتی‌سنس
۴۲ ۲-۲-۲-۳. استخراج DNA از ژل
۴۲ ۲-۲-۲-۴. هضم آنزیمی دوگانه
۴۳ ۲-۲-۲-۵. تعیین غلظت DNA
۴۶ ۲-۲-۲-۶. واکنش الحاق
۴۷ ۲-۲-۲-۷. تهیه میزبان باکتریایی مستعد و انتقال محصول الحاق به آن
۴۸ ۲-۲-۲-۸. استخراج پلاسمید از باکتری به روش لیز قلیایی با SDS
۵۰ ۲-۲-۲-۹. تعیین توالی قطعه الحاق شده در پلاسمید
۵۱ ۲-۲-۲-۱۰. واکنش زنجیره‌ی پلی‌مراز با استفاده از ترانس‌کریپتاز معکوس (RT-PCR)
۵۱ ۲-۲-۲-۱۱. استخراج RNA از باکتری گرم منفی
۵۲ ۲-۲-۲-۱۲. حذف آلودگی RNA از DNA از RNA جداسازی شده از باکتری
۵۲ ۲-۲-۲-۱۳. سنجش غلظت RNA از RNA جداسازی شده
۵۲ ۲-۲-۲-۱۴. تهیه cDNA از RNA جداسازی شده
۵۳ ۲-۲-۲-۱۵. انجام واکنش PCR بر روی cDNA تهیه شده
۵۴ ۲-۲-۲-۱۶. سنجش غلظت باندهای مشاهده شده در ژل آگارز
۵۴ ۲-۲-۲-۱۷. اندازه‌گیری فعالیت ویژه‌ی آنزیم استات‌کیناز (ACK) و فسفوترانس‌استیلаз (PTA)
۵۷ ۲-۲-۲-۱۸. اندازه‌گیری تراکم نوری باکتری در بازه‌ی زمانی مورد نظر در فلاسک

۱۲-۲. اندازه‌گیری غلظت گلوکز در محیط کشت فلاسک	۵۸
۱۳-۲. اندازه‌گیری غلظت استات در محیط کشت فلاسک	۵۸
۱۴-۲. اندازه‌گیری تراکم نوری باکتری، غلظت گلوکز و غلظت استات در بازه‌ی زمانی مورد نظر در IPTG محیط کشت فلاسک و حضور	۵۸
۱۵-۲. اندازه‌گیری تراکم نوری باکتری، غلظت گلوکز و غلظت استات در بازه‌ی زمانی مورد نظر در فرمانتور (با کشت غیرمداوم)	۵۸
۱۶-۲. ایجاد یک جهش منفرد در پروموتر T7 در پلاسمید دارای کاست آنتی‌سنس	۵۹
۱۷-۲. انتقال دو پلاسمید مختلف به یک باکتری	۵۹
۱۸-۲. اندازه‌گیری تراکم نوری باکتری دارای اینترفرون بتا، غلظت گلوکز و غلظت استات در بازه‌ی زمانی مورد نظر در محیط کشت فلاسک	۶۰
۱۹-۲. بررسی نحوه‌ی بیان اینترفرون بتا در باکتری دارای کاست آنتی‌سنس و فاقد آن در ژل SDS-PAGE	۶۲
۲۰-۲. تایید باندهای مربوط به اینترفرون بتا با وسترن‌بلاتينگ	۶۲
۲۱-۲. دانسيتومتری باندهای ظاهر شده در وسترن‌بلاتينگ	۶۴

فصل سوم: نتایج

۱-۳. تصویر ژل الکتروفورز پلاسمید pBluscript/ sk ⁺	۶۵
۲-۳. تصویر ژل الکتروفورز ژن‌های <i>ackA</i> و <i>pta</i> حاصل از واکنش PCR	۶۶
۳-۳. تصویر ژل الکتروفورز <i>PackA</i> حاصل از واکنش PCR	۶۶
۴-۳. تصویر ژل الکتروفورز قطعه <i>PackA</i> استخراج شده از ژل	۶۷
۵-۳. تصویر ژل الکتروفورز قطعه <i>as-ackA</i> حاصل از واکنش PCR	۶۸
۶-۳. تصویر ژل الکتروفورز قطعه <i>as-ackA</i> استخراج شده از ژل	۶۸
۷-۳. تصویر ژل الکتروفورز قطعه <i>term</i> حاصل از واکنش PCR	۶۹

- ۶۹ تصویر ژل الکتروفورز قطعه term استخراج شده از ژل ۸-۳
- ۷۰ تصویر ژل الکتروفورز قطعه *Ppta* حاصل از واکنش PCR ۹-۳
- ۷۰ تصویر ژل الکتروفورز قطعه *Ppta* استخراج شده از ژل ۱۰-۳
- ۷۱ تصویر ژل الکتروفورز قطعه *as-pt*a حاصل از واکنش PCR ۱۱-۳
- ۷۱ تصویر ژل الکتروفورز قطعه *as-pt*a استخراج شده از ژل ۱۲-۳
- ۷۲ تصویر ژل الکتروفورز قطعه term حاصل از واکنش PCR ۱۳-۳
- ۷۲ تصویر ژل الکتروفورز قطعه term استخراج شده از ژل ۱۴-۳
- ۷۳ تصویر ژل الکتروفورز قطعات هضم شده *PackA* و *Ppta* به همراه پلاسمید sk^+ ۱۵-۳
- ۷۴ تصویر ژل الکتروفورز هضم دوگانه پلاسمیدهای کلون شده با *Ppta* و *PackA* ۱۶-۳
- ۷۵ تصویر ژل الکتروفورز قطعات هضم شده *as-ackA* و *as-pt*a به همراه پلاسمید pRAN101 و pRAN104 ۱۷-۳
- ۷۶ تصویر ژل الکتروفورز هضم دوگانه پلاسمیدهای کلون شده با *as-pt*a و *as-ackA* ۱۸-۳
- ۷۷ تصویر ژل الکتروفورز پلاسمیدهای استخراج شده از کلونهای انتخابی ۱۹-۳
- ۷۸ تصویر ژل الکتروفورز هضم دوگانه پلاسمیدهای کلون شده با term ۲۰-۳
- ۷۸ تصویر ژل الکتروفورز پلاسمیدهای استخراج شده از کلونهای انتخابی ۲۱-۳
- ۷۹ تصویر ژل الکتروفورز هضم دوگانه پلاسمیدهای pRAN103 کلون شده با *Ppta+as-pt+a+term* ۲۲-۳
- ۸۰ تصویر ژل الکتروفورز پلاسمیدهای استخراج شده از باکتریهای کلون شده با کاست کامل آنتی-سنس ۲۳-۳
- ۸۱ تصویر ژل الکتروفورز هضم دوگانه پلاسمیدهای pLT10T3 کلون شده با کاست کامل آنتی-سنس ۲۴-۳
- ۸۳ آنالیز RT-PCR کمی برای مشاهده اثر کاست آنتی-سنس در کاهش رونوشت ژن *ackA* ۲۵-۳
- ۸۴ آنالیز RT-PCR کمی برای مشاهده اثر کاست آنتی-سنس در کاهش رونوشت ژن *pta* ۲۶-۳
- ۸۴ فعالیت ویژه آنزیم ACK در باکتری دارای کاست آنتی-سنس و باکتری فاقد آن ۲۷-۳

۸۵	۲۸-۳. فعالیت ویژه آنزیم PTA در باکتری دارای کاست آنتی‌سنس و باکتری فاقد آن
۸۶	۲۹-۳. تغییرات منحنی رشد باکتری <i>E. coli</i> Bl21 (DE3) (در فلاسک).....
۸۶	۳۰-۳. تغییرات غلظت گلوکز در محیط کشت باکتری <i>E. coli</i> Bl21 (DE3) در اثر کاست آنتی‌سنس (در فلاسک).....
۸۷	۳۱-۳. تغییرات غلظت استات در محیط کشت باکتری <i>E. coli</i> Bl21 (DE3) در اثر کاست آنتی‌سنس (در فلاسک).....
۸۹	۳۲-۳. تغییرات منحنی رشد باکتری <i>E. coli</i> Bl21 (DE3) در اثر کاست آنتی‌سنس و IPTG (در فلاسک)...
۹۰	۳۳-۳. تغییرات غلظت گلوکز در محیط کشت باکتری <i>E. coli</i> Bl21 (DE3) در اثر کاست آنتی‌سنس و IPTG (در فلاسک).....
۹۱	۳۴-۳. تغییرات غلظت استات در محیط کشت باکتری <i>E. coli</i> Bl21 (DE3) در اثر کاست آنتی‌سنس و IPTG (در فلاسک).....
۹۲	۳۵-۳. تغییرات منحنی رشد باکتری <i>E. coli</i> Bl21 (DE3) در کشت غیرمداوم در فرمانتور در اثر کاست آنتی‌سنس
۹۳	۳۶-۳. تغییرات غلظت گلوکز در محیط کشت غیرمداوم باکتری <i>E. coli</i> Bl21 (DE3) در فرمانتور تحت تاثیر کاست آنتی سنس.....
۹۴	۳۷-۳. تغییرات غلظت استات در محیط کشت غیرمداوم باکتری <i>E. coli</i> Bl21 (DE3) در فرمانتور تحت تاثیر کاست آنتی سنس.....
۹۵	۳۸-۳. تغییرات منحنی رشد باکتری <i>E. coli</i> Bl21 (DE3) کلون شده با اینترفرون بتا در اثر کاست آنتی - سنس(در فلاسک).....
۹۶	۳۹-۳. تغییرات غلظت گلوکز در محیط کشت باکتری <i>E. coli</i> Bl21 (DE3) کلون شده با اینترفرون بتا در اثر کاست آنتی سنس (در فلاسک).....
۹۷	۴۰-۳. تغییرات غلظت استات در محیط کشت باکتری <i>E. coli</i> Bl21 (DE3) کلون شده با اینترفرون بتا در اثر کاست آنتی سنس (در فلاسک).....
۹۸	۴۱-۳. بیان اینترفرون بتا در ژل SDS-PAGE، در حضور و عدم حضور کاست آنتی سنس
۹۸	۴۲-۳. تایید باندهای مربوط به اینترفرون بتا به وسیله‌ی وسترن‌بلاتنگ

فصل چهارم: بحث

- ۱۰۱ ۴-۱. تغییرات منحنی رشد، مصرف گلوکز و تولید استات در باکتری *E.coli* Bl21(DE3) در اثر کاست آنتی‌سنس (در فلاسک).....
- ۱۰۲ ۴-۲. تغییر سطح رونوشت ژن‌های *ackA* و *pta* و میزان فعالیت آنزیم‌های کد شده از روی آنها در اثر کاست آنتی‌سنس
- ۱۰۳ ۴-۳. تغییرات منحنی رشد، مصرف گلوکز و تولید استات در باکتری *E. coli* Bl21 (DE3) در اثر کاست آنتی‌سنس و IPTG (در فلاسک).....
- ۱۰۴ ۴-۴. تغییرات منحنی رشد، مصرف گلوکز و تولید استات در کشت غیرمداوم باکتری (DE3) *E. coli* Bl21 در اثر کاست آنتی‌سنس (در فرمانتور).....
- ۱۰۵ ۴-۵. تغییرات منحنی رشد، مصرف گلوکز و تولید استات باکتری *E. coli* Bl21 (DE3) کلون شده با اینترفرون بتا در اثر کاست آنتی‌سنس (در فلاسک).....
- ۱۰۶ ۴-۶. نوآوری‌های تحقیق
- ۱۰۷ ۴-۷. پیشنهادات.....
- ۱۰۸ فهرست منابع

فصل اول

مقدمه

۱-۱. تاریخچه‌ی داروهای نوترکیب

آنچه که امروز، به عنوان فن‌آوری زیستی یا بیوتکنولوژی در عرصه علوم کاربردی سربر- آورده است حاصل کارهای انجام گرفته در مورد تولید پروتئین از rDNA نوترکیب^۱ بوده و پیش- بینی می‌شود که در آینده به یکی از بخش‌های مهم در توسعه و تحقیقات تبدیل شود. در اوایل دهه ۱۹۷۰ شواهد موجود در زیست‌شناسی مولکولی و مهندسی ژنتیک منجر به پیشرفت قابل توجهی در توانایی تشخیص و فهم ریشه‌های مولکولی بیماری‌های انسانی شد. شخصی به نام پاول برگ^۲ که برنده جایزه نوبل شیمی در سال ۱۹۸۰ باشد، در سال ۱۹۷۲ برای اولین بار موفق به تهییه rDNA نوترکیب در دانشگاه استنفورد شد. کار برگ به وسیله تیمی با رهبری هربرت بویر^۳ از دانشگاه کالیفرنیا که توانست در سال ۱۹۷۳ سلول‌های اشرشیاکلی^۴ را با پلاسمید نوترکیب

rDNA^۱

Paul Berg^۲

Herbert Boyer^۳

E.coli^۴

مقدمه

ترانسفرم کند، ادامه پیدا کرده و بعداز آن فناوری مهندسی ژنتیک توسط کمپانی ژن‌تک^۱ در آمریکا بنیان‌گذاری شد. گروه بویر روش‌هایشان را تکمیل کرده، بهینه سازی نموده و با کمک شریک صاحب پروانه خود، شرکت الی‌لی^۲، اولین پروتئین نوترکیب انسانی به نام هومولین^۳ را در سال ۱۹۸۲ تولید نمودند. حال پس از گذشت بیش از دو دهه تحقیقات و کارهای پیوسته و جهانی و شکل‌گیری بازار تجاری و تنوع فناوری، امروزه داروهای نوترکیب هسته‌ی صنعت بیوتکنولوژی دارویی را شامل بیش از ۳۲ میلیون دلار در سال ۲۰۰۳ تشکیل می‌دهند. حوزه‌ی مربوط به داروهای نوترکیب، شامل بیش از ۱۱۰ شرکت است که در کشف، تولید و بازاریابی این محصولات فعالیت می‌کنند. این شرکت‌ها بیش از ۸۰ دارو در مراحل مختلف تولید نموده و دارای سهام ترکیبی شامل ۷۳ داروی موجود در بازار می‌باشند (۵۴).

در دهه‌ی ۱۹۸۰، روش‌های جدیدی برای دست‌ورزی DNA به وجود آمد که سبب ایجاد فرصت‌های جدید برای تولید پروتئین‌های نوترکیب شد. پروتئین‌هایی که در دهه ۱۹۸۰ در کلینیک مورد مطالعه قرار گرفتند، آنهایی بودند که با فنون تولید موجود در آن زمان (مانند آنزیم‌های محدودگر و دودمان‌های سلولی) قابل دستیابی بودند.

تا اواسط سال ۲۰۰۲، حدود ۱۲۰ فرآورده‌ی دارویی زیستی در آمریکا و اروپا وارد بازار شدند. اینها مجموعاً دربرگیرنده‌ی یک بازار ۱۵ بیلیون دلاری در سطح جهان می‌باشند. این داروها شامل تعدادی از هورمون‌ها، فاکتورهای خونی و عوامل ترومبولیتیک مانند واکسن‌ها و آنتی‌بادی-

¹ Genentech

² Eli Lilly

³ Humulin

مقدمه

های منوکلونال هستند. تمام اینها به جز یکی، پایه‌ی پروتئینی دارند. مورد غیرپروتئینی واپرداون^۱ نام دارد، که ماهیت آن یک اولیگونوکلئوتید آنتی‌سنس می‌باشد که در سال ۱۹۹۸ در آمریکا مورد تایید قرار گرفت. البته در حال حاضر، فرآورده‌های زیاد دیگری که پایه‌ی اسیدنوکلئیکی دارند جهت استفاده در ژن درمانی یا فناوری آنتی‌سنس، در مرحله آزمایش‌های کلینیکی می‌باشند.

بسیاری از داروهای زیستی اولیه، جایگزین‌های ساده‌ی پروتئین‌ها (مانند فاکتورهای خونی و انسولین انسانی) هستند. توانایی تغییر هدف‌دار توالی آمینواسیدی یک پروتئین، همراه با شناخت بیشتر ارتباط بین ساختار و عملکرد آن، ساخت و تولید پروتئین‌های مهندسی شده‌ی دارویی را بسیار تسهیل کرده است. به طوریکه بسیاری از پروتئین‌های نوترکیب تایید شده در باکتری /شرشیاکلی، مخمر ساکارومیس سرویزیه و دودمان‌های سلولی حیوانی (اغلب سلول‌های تخمدان خوکچه هندی^۲ یا کلیه نوزاد موش صحرایی^۳) تولید شده است. هرچند اغلب داروهای زیستی برای استفاده‌ی انسانی تهیه شده‌اند، بین آنها تعدادی فرآورده‌ی دارویی دامی هم وجود دارد که وارد بازار شده‌اند. مثلا هورمون رشد گاوی نوترکیب (سوماتوتروفین^۴) در اوایل دهه‌ی ۱۹۹۰ در آمریکا وارد بازار شده که برای افزایش محصول شیری گاودارها به کار گرفته می‌شود. سایر داروهای زیستی مربوط به دامپزشکی، شامل تعدادی واکسن نوترکیب و یک محصول دیگر است که اساس اینترفرونی دارد.

Vitraven^۱

Chinese hamster ovary: CHO^۲

Baby hamster kidney: BHK^۳

Somatotrophin^۴

مقدمه

بیش از ۵۰۰ داروی زیستی در حال حاضر در حال گذراندن مرحله آزمایش‌های کلینیکی می‌باشند. دو دسته بزرگ این فرآورده‌ها آنتی بادی‌های مونوکلونال و واکسن‌ها می‌باشند. فاکتورهای تنظیمی (مانند هورمون‌ها و سیتوکین‌ها) همگام با ژن درمانی و فرآورده‌های آنتی-سننس نیز، اهمیت ویژه خود را دارند.

طبق بررسی‌های انجام شده، ارزش فروش داروهای نوترکیب از ۳۴۸۰۷ میلیون دلار در سال ۲۰۰۴ به ۴۱۷۴۴ میلیون در سال ۲۰۰۶ رسیده و پیش‌بینی می‌شود که این مبلغ به ۵۲۱۵۰ میلیون دلار در سال ۲۰۱۰ برسد. انتظار می‌رود، همزمان با رشد ۵۰ درصدی تعداد فرآورده‌های نوترکیب به تایید رسیده، بازار این داروها هم با تقسیم بازار فروش (که کمتر از ۵۸٪ نخواهد بود) به بیش از ۱۲ برنده اصلی برسد (۵۴).

۱-۲. اینترفرون‌ها: گزینه‌ای برای تولید پروتئین نوترکیب جهت مصارف درمانی

در بین فرآورده‌های پروتئینی نوترکیب، اینترفرون و اینترلوکین باعث ارتباط و راهیابی DNA نوترکیب به درمان شدند. در بین پروتئین‌های نوترکیب، این پروتئین‌ها، درده‌هی ۱۹۸۰ سهمی بیش از ۳۰٪ مطالعات کلینیکی را به خود اختصاص دادند. از دو سیتوکین مذکور اینترفرون‌ها موفق‌تر عمل کردند و بالاخره ۶ نوع از اینترفرون‌های α , β و γ برای درمان عفونت مزمن هپاتیت C، لوسومی، سلطان مزمن گلبول‌های سفید و بیماری مولتیپل اسکلروزیس^۱ در ایالات متحده‌ی آمریکا به تایید رسیدند.

نامگذاری اینترفرون‌ها توسط اسحاق^۲ و لیندنمن^۱ در سال ۱۹۵۷ انجام گرفت. در واقع این نام از نوع فعالیت این دسته از ماکرو مولکول‌ها سرچشم می‌گیرد (۷۰).

^۱ Multiple Sclerosis: Ms

^۲ Isaacs

مقدمه

هم اکنون اینترفرون‌های α و β به صورت طبیعی و نوترکیب در درمان موثر شماری از بیماری‌های خونی و غیرخونی، هپاتیت، عفونت‌های ویروسی، پاپیلوما و مولتیپل اسکلروزیس به کار می‌روند.

طبقه‌بندی اولیه اینترفرون‌ها بر اساس منبع سلولی این پروتئین‌ها یعنی اینترفرون‌های لوکوسیتی، فیبروپلاستی و ایمنی انجام گرفته است. سپس دو دسته‌ی لوکوسیتی و فیبروپلاستی تحت عنوان اینترفرون‌های نوع I و اینترفرون‌های دسته‌ی آخر به نام اینترفرون‌های نوع II شناخته شدند. اما نام‌گذاری که در حال حاضر استفاده می‌شود، در درجه اول بر اساس توالی نوکلئوتیدی ویژه‌ی ژن‌های اینترفرون‌ها و گروه ژنی آنها می‌باشد. اینترفرون‌های لوکوسیتی در نام‌گذاری اخیر با عنوان IFN α و IFN ω (قبل از ترتیب IFN α -I و IFN α -II) و اینترفرون فیبروپلاستی با عنوان IFN β و در نهایت اینترفرون ایمنی به نام IFN γ شناخته می‌شوند. در انسان حداقل ۱۸ ژن غیرآلی برای IFN α وجود دارد که ۵تاً آنها ژن‌های کاذب^۲ هستند و حداقل ۶ ژن برای IFN ω ، که ۵تاً آنها ژن‌های کاذب هستند. ژن‌های IFN α و ω به همراه تک ژن IFN β ابرخانواده‌ی^۳ IFN α/β را تشکیل می‌دهند.

ژن‌های IFN نوع I در یک خوشی ژنومی بر روی بازوی کوتاه کروموزوم ۹ انسانی واقع شده‌اند. از ویژگی‌های جالب توجه این پروتئین‌ها، قادر اینتررون بودن تمام آنها می‌باشد که منشا بسیار قدیمی این خانواده‌ی ژنی را آشکار می‌سازد. اما علی‌رغم این موضوع، اینترفرون‌ها دارای توالی نشانه‌ی ترشح پپتیدی می‌باشند که قبل از ترشح جدا شده و اینترفرون‌های بالغ α و β و ω را

Lindenmann^۱

pseudogenes^۴

superfamily^۵

مقدمه

با طول ۱۶۵ تا ۱۷۲ اسید آمینه به وجود می‌آورند. به نظر می‌رسد ژن‌های اینترفرون‌های α و β از منشا ژنی منفردی باشند؛ هرچند همولوژی IFN α و β بیشتر از همولوژی آنها نسبت به اینترفرون β می‌باشد (۷۱). این همولوژی در حدود ۳۰٪ توالی اسید‌آمینه‌ای است. به علاوه این اینترفرون‌ها در سلول هدف نسبت به عفونت‌های ویروسی مقاومت ایجاد کرده، از تکثیر سلولی جلوگیری نموده و بیان دسته‌ی MHC-I^۱ را تنظیم می‌نمایند.

عوامل زیستی مختلفی می‌توانند سبب تولید اینترفرون‌های نوع I گردند. از جمله :

- ۱) آلدگی میکروبی (شامل ویروس‌ها، باکتری‌ها، مایکوپلاسمای پروتوزوا).
- ۲) مواجهه با برخی سیتوکین‌ها و فاکتورهای رشد (TNF- α , IL-1, CSF-1, IL-2 و IL-3).
- ۳) اسیدهای نوکلئیک دو رشته‌ای مثل dsRNA که در یکی از مراحل همانندسازی ویروسی تشکیل می‌گردد (۲۵).

۱-۲-۱. اینترفرون β

اینترفرون β دارای ۵ بخش مارپیچ است که ۳تای آن با هم موازی بوده و ۲تای بعدی با این ۳تا ناموازی می‌باشند. این ساختار، گونه‌ای از ساختار مارپیچ آلفا^۲ است؛ اما با یک توپولوژی فولدینگ جدید که در تمام اینترفرون‌های نوع I مشترک است. وزن مولکولی تخمینی آن ۲۰ کیلودالتون است ولی در ژل پلی‌اکریل‌آمید ظاهرا در نزدیکی وزن ۲۵ کیلودالتون می‌ایستد و این به علت گلیکوزیلاسیون این مولکول می‌باشد.

^۱ Major Histocompatibility Complex

^۲ α - helix bundle

مقدمه

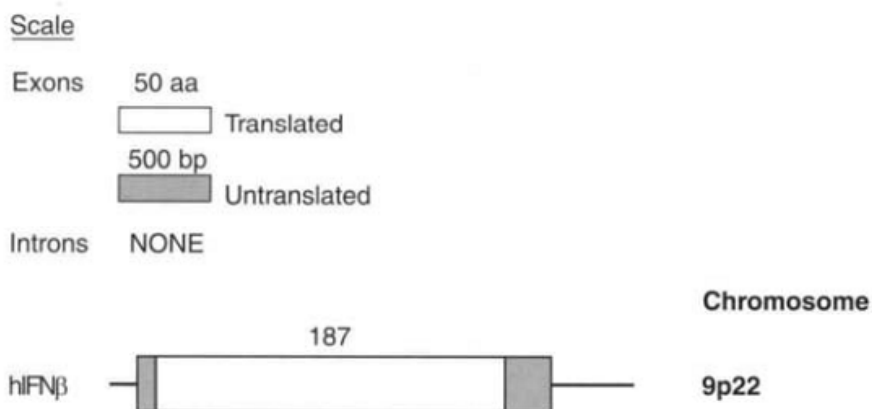
جدول ۱-۱. ویژگی‌های فیزیولوژیکی اینترفرون β (۲۵).

Property	Human	Mouse
pI	7.8–8.9	8–10
Amino acids – precursor	187	182
– mature ^a	166	161
M_r (K) – predicted	20	19.7
– expressed	20	26/35 ^b
Potential N-linked glycosylation sites ^b	1	3
Disulfide bonds	1	0

a پس از حذف پپتید نشانه

b دو نوع از اینترفرون‌های بتای موش با وزن‌های ۲۶ و ۳۵ کیلودالتون که از گلیکوزیلاسیون متفاوت یک پروتئین واحد حاصل می‌شود.

ساختار کریستالی اینترفرون β به صورت دو زیروحدی می‌باشد، که این دی مریزاسیون با واسطه‌ی عنصر روی انجام می‌شود. البته این مولکول در شرایط طبیعی، به صورت دو زیروحدی دیده نمی‌شود.



شکل ۱-۱. ساختار ژنی اینترفرون بتای انسان و موش (۲۵).

ژن اینترفرون β در انسان، شامل یک اگزون منفرد بوده و پروتئین آن ۱۸۷ اسیدآمینه دارد. این ژن در موقعیت p22 بر روی کروموزوم ۹ قرار دارد.

مقدمه



Accession code: SwissProt P01574

-21 MTNKCLLQIA LLLCFSTTAL S
1 MSYNLLGFLQ RSSNFQCQKL LWQLNGRLEY CLKDRMNF DI PEEIKQLQQF
51 QKEDAALTIY EMLQNI FAIF RQDSSSTGWN ETIVENLLAN VYHQINHLKT
101 VLEEKLEKED FTRGKLMSSL HLKRYYGRIL HYLKAKEYSH CAWTIVRVEI
151 LRNFYFINRL TGYLRN

شکل ۱-۲. توالی آمینواسیدی اینترفرون β ی انسانی (۲۵).

بین سیستئین‌های ۳۱ و ۱۴۱ پیوند دی‌سولفید وجود دارد. جهش سیستئین به لیزین در موقعیت ۱۴۱ سبب از بین رفتن این پیوند دی‌سولفید و فعالیت ضدویروسی پروتئین می‌شود (۲۵).

مکانسیم عمل اینترفرون β ، احتمالاً شامل القای IL-10، تنظیم منفی IFN γ و در نتیجه کاهش بیان MHC کلاس II حاصل از القای آن، مهار مولکول‌های سطحی دارای تحریک‌پذیری همزمان، یعنی β -1/ β -2 و ممانعت از مهاجرت لنفوцит‌های T و تکثیر آنها می‌باشد. به علاوه، مشخص شده که درمان ترکیبی به وسیله‌ی اینترفرون β و ایمونوگلوبولین داخل رگی در رفع نشانگان گایلاین-بار^۱ مؤثر می‌باشد (۷۰).

بیشتر تحقیقات کلینیکی در مورد اینترفرون β ، روی اثر آن در درمان بیماری MS صورت گرفته است. MS، یک بیماری خودایمنی است که در آن سلول‌های T علیه آنتیژن‌های میلین خودی در سلول‌های گلیال سیستم عصبی مرکزی، پاسخ ایمنی می‌دهند. در سال ۱۹۹۳، سازمان غذا و داروی آمریکا، تزریق زیرجلدی IFN- β 1b MS را برای درمان مؤثر دانست. IFN- β 1b یک شکل غیرگلیکوزیله‌ی اینترفرون β است که به وسیله‌ی باکتری/شرشیاکلی تولید می‌شود. این ماده،

Gaillain- Barre^۱

مقدمه

در داروخانه به نام بتاسرون^۱ عرضه می‌شود. در حال حاضر، IFN-β1a (نوع یوکاریوتی به فرم گلیکوزیله که از هامستر به دست می‌آید)، تحت عنوان آونکس^۲ در بازار موجود می‌باشد. احتمالاً اینترفرون β حملات خودایمنی را با تشدید کردن عمل سدکنندگی سلول‌های T بهبود می‌بخشد؛ درمان همزمان با رتینوئیک‌اسید کاملاً ترانس هم، این کار را به دلیل نامعلوم افزایش می‌دهد. اینترفرون β ممکن است القای نیتریک‌اسیدستاز القاشونده (iNOS) با IL-1 و اینترفرون γ را نیز مهار کند. تولید اسیدنیتریک به وسیله‌ی نیتریک‌اسیدستاز القاشونده در آستروسیت‌ها^۳، به عنوان فاکتوری در پیشرفت MS عمل می‌کند.

اگرچه درمان MS از کاربردهای موفقیت‌آمیز اینترفرون β است، محققان شروع به کشف راه‌هایی جهت استفاده از اینترفرون‌های نوع I در درمان هپاتیت کرده‌اند. به خصوص، آزمایش‌های کلینیکی برای استفاده از اینترفرون 1β در درمان بیماران مبتلا به هپاتیت C انجام شده است.

برخی از پژوهش‌های انجام‌شده نشان می‌دهد که، احتمالاً اینترفرون β در بیماری‌های مزمن التهابی مانند آرتربیت‌روماتوئید و اگزماً غیرسمی نقش داشته باشد. همانطور که قبلاً گفته شد، سلول‌های استرومایی لنفوسیت‌های T را به وسیله‌ی ترشح اینترفرون β از خودکشی سلولی نجات می‌دهند. بنابراین، امکان دارد تولید نامناسب اینترفرون β، مسؤول تداوم القای موضوعی سلول‌های T و التهاب مزمن حاصل از آن باشد (۷۰).

Betaseron^۱

Avonex^۲

Astrocyte^۳

۱-۳. باکتری اشرشیاکلی: میزبانی برای تولید انبوه پروتئین‌های نوترکیب

اگر چه امروزه ارگانیسم‌ها و سامانه‌های بیانی بسیار متنوعی برای تولید پروتئین نوترکیب وجود دارد، باکتری اشرشیاکلی اولین میزبانی بود که برای تولید داروی نوترکیب مورد استفاده قرار گرفت و به نظر می‌آید پیشرفتهای قابل توجهی با استفاده از آن، در این حوزه از فناوری زیستی صورت گیرد. رشد سریع و سرعت بالای تولید پروتئین و دانش زیادی که در مورد فیزیولوژی اشرشیاکلی وجود دارد؛ به همراه ابزار کارآمد ژنتیکی، آن را به یکی از بهترین سیستم‌های بیانی مبدل ساخته است. به ویژه، توانایی اشرشیاکلی در کنترل فولدینگ اکسیداتیو پروتئین در سیتوپلاسم و نتایج جدید حاصل از آزمایش‌های بدون سلول^۱، دریچه‌های جدیدی جهت به کارگیری این ارگانیسم ساده اما بسیار مفید، در صنایع تولید پروتئین نوترکیب گشوده است (۶۹).

با وجود مزایای قابل توجه در مورد استفاده از این میزبان ارزان قیمت برای تولید پروتئین نوترکیب، مشکلاتی نیز بر سر راه وجود دارد. از جمله مسایلی که محققان مختلفی را به مطالعه و تحقیق جهت رفع آن واداشته است، تولید بالای استاتات توسط باکتری در طی رشد سریع در فرمانتور می‌باشد که سبب مرگ زودرس آن شده و به این ترتیب فرآیند تولید پروتئین نوترکیب را کاهش می‌دهد.

۱-۳-۱. استاتات به عنوان یک مساله مشکل آفرین در تولید انبوه پروتئین نوترکیب

توضیح اشرشیاکلی

استاتاتی که توسط سلول‌ها به محیط ترشح می‌شود، آنها را با یک مساله مواجه می‌سازد. استاتات، مانند سایر اسیدهای ضعیف، سمی است. این اسید ضعیف لیپوفیل، در این فرم تجزیه نشده یا اسیدی، به آسانی از منافذ غشا عبور کرده و سبب به هم خوردن شیب pH عبور کننده از

^۱ cell-free